



INSTITUT DES SCIENCES ET  
TECHNIQUES DES YVELINES



# **Stéréovision**

- **Patrick Bonnin**

- ✓ **Institut des Sciences et Techniques des Yvelines ISTY**
- ✓ **Laboratoire d'Ingénierie des Systèmes de Versailles**
- ✓ **Université de Versailles Saint Quentin UVSQ**

# Modélisation de l'Objectif : 2D

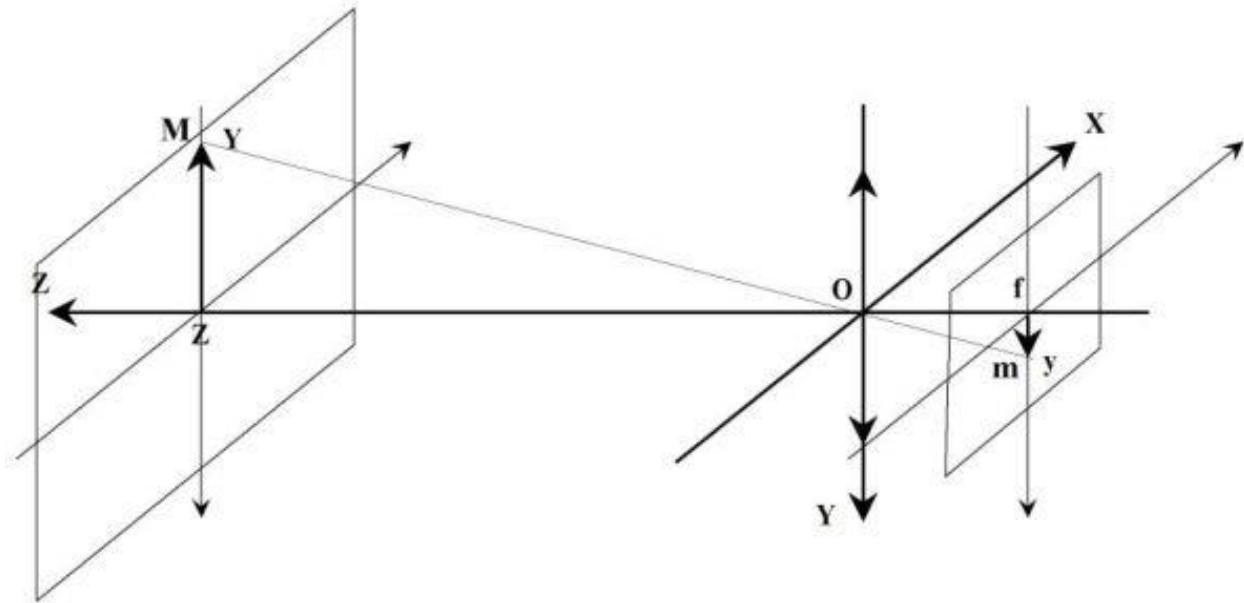


Figure 1: Objectif Photo : Modélisation 2D.

- **Repère:**
  - ✓ O : Centre Optique;
  - ✓ OZ : Axe optique,
  - ✓ OY : Vertical
  - ✓ OX : Horizontal
- **Objet :**
  - ✓ Sur OY, à Z
- **Plan Focal:**
  - ✓  $f < 0$

$$\begin{aligned} Y < 0 & : Z > 0 \\ y > 0 & : f < 0 \\ \frac{y}{f} &= \frac{Y}{Z} \end{aligned}$$

## Modélisation de l'Objectif : 3D

- **Repère :**
  - ✓ **O** : Centre Optique;
  - ✓ **OZ** : Axe optique,
  - ✓ **OY** : Vertical
  - ✓ **OX** : Horizontal
- **Objet :**
  - ✓ Plan (O,X,Y), à Z
- **Image :**
  - ✓ Renversée en  $Z=f < 0$ .

$$\begin{array}{l} Y < 0 \quad ; \quad X > 0 \quad ; \quad Z > 0 \\ y > 0 \quad ; \quad x < 0 \quad ; \quad f < 0 \end{array}$$

$$\frac{y}{f} = \frac{Y}{Z}$$

$$\frac{x}{f} = \frac{X}{Z}$$

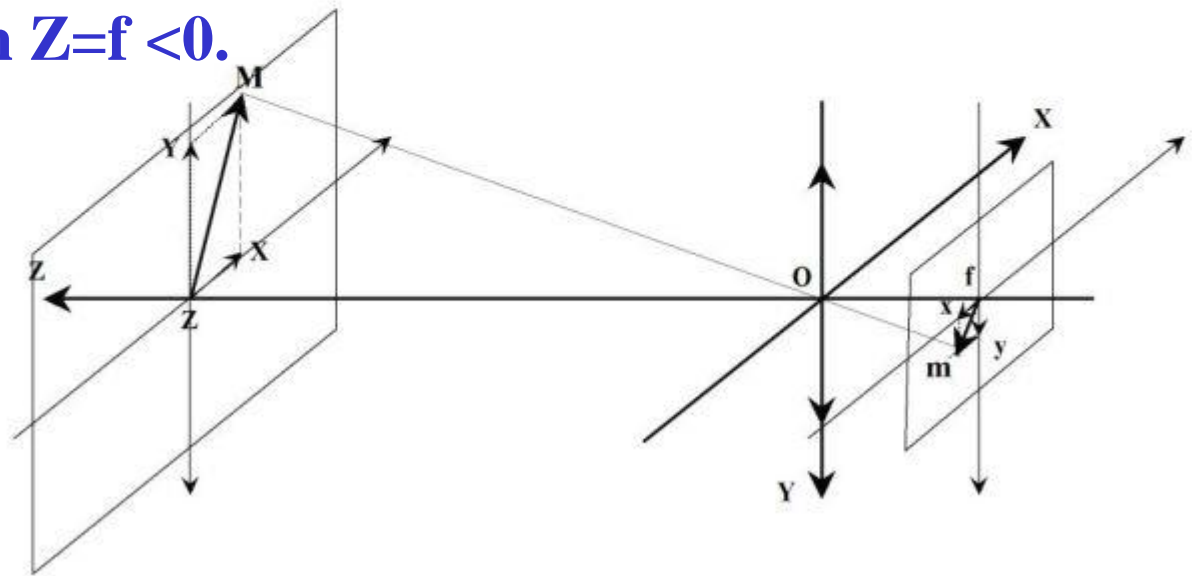


Figure 2: Objectif Photo : Modélisation 3D.

# Modélisation de l'Objectif en Vision

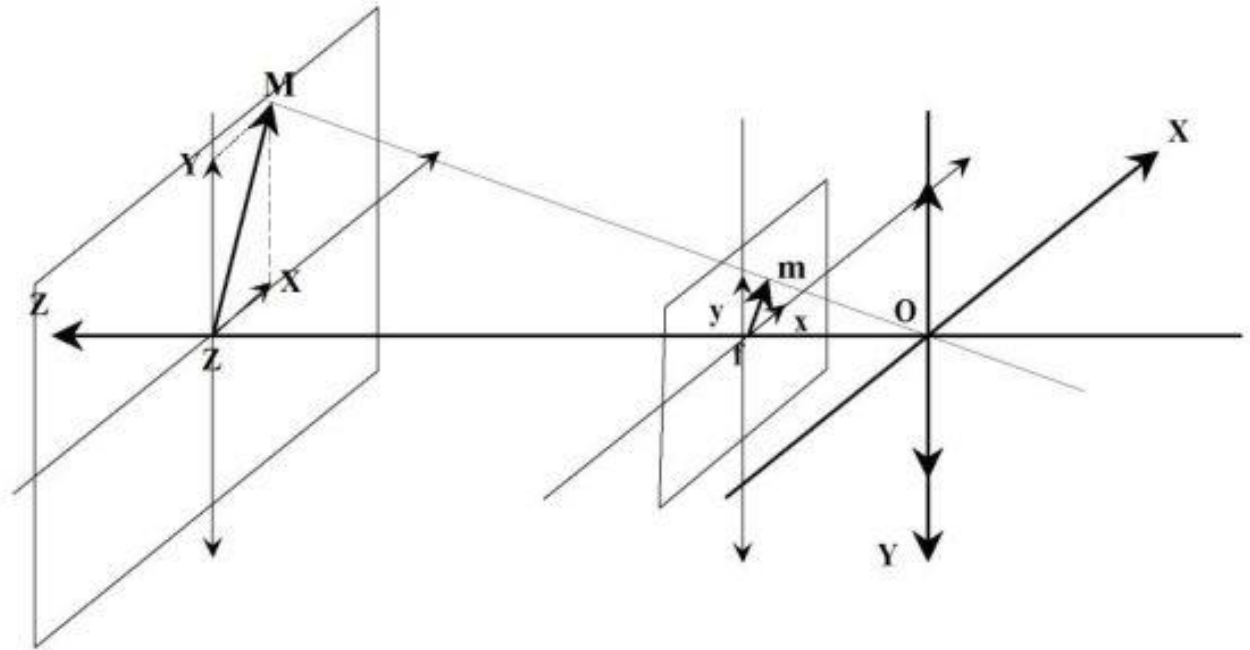


Figure 3: Modélisation pour la Vision.

- **Repère:**
  - ✓ Identique
- **Objet :**
  - ✓ Plan (O,X,Y), à Z
- **Plan Focal :**
  - ✓ « Virtuel »
  - ✓ En  $Z = |f| > 0$ .
- **Image :**
  - ✓ Même sens

$$Y < 0 : X > 0 : Z > 0$$

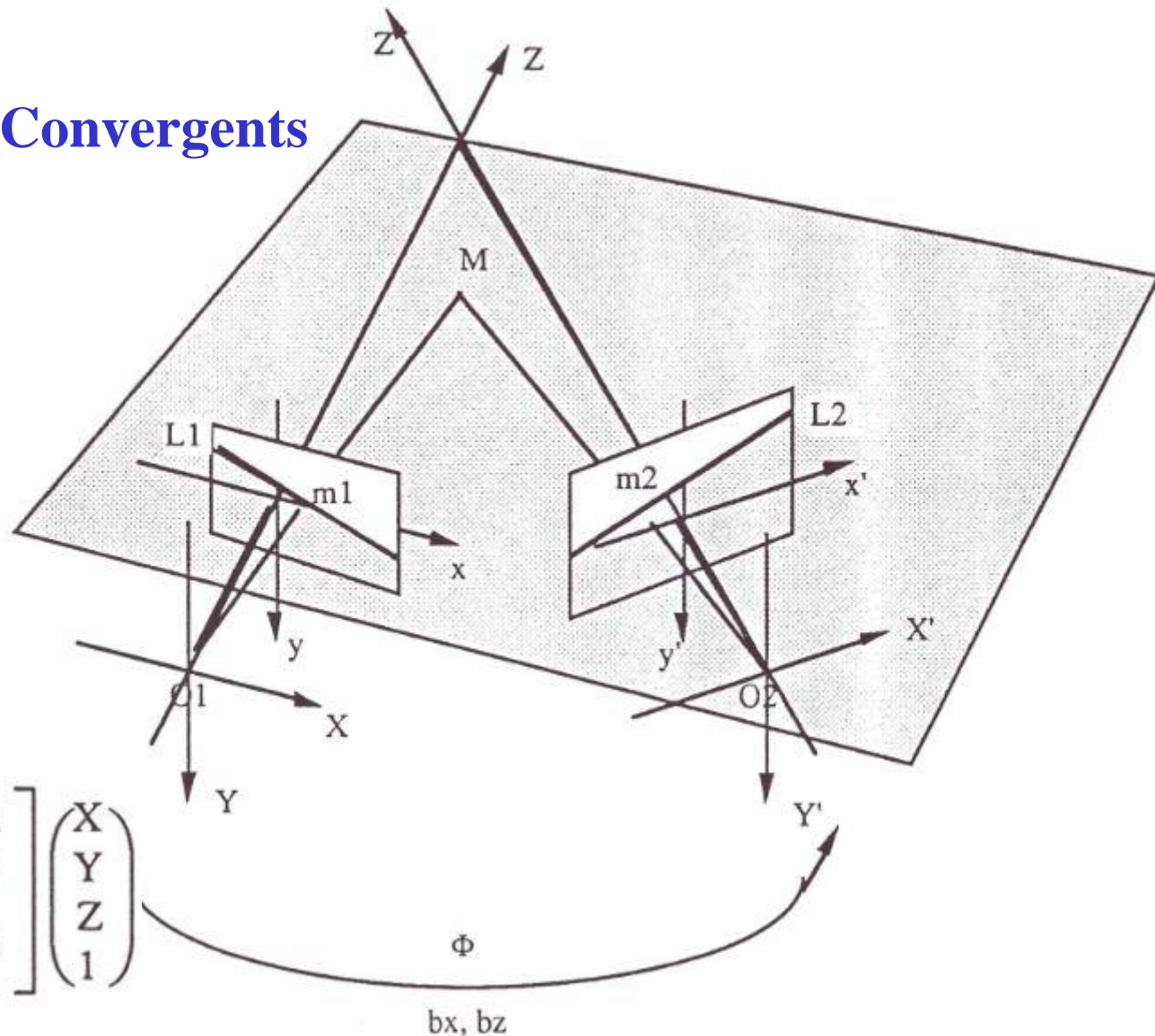
$$y < 0 : x > 0 : f < 0$$

$$\frac{y}{f} = \frac{Y}{Z}$$

$$\frac{x}{f} = \frac{X}{Z}$$

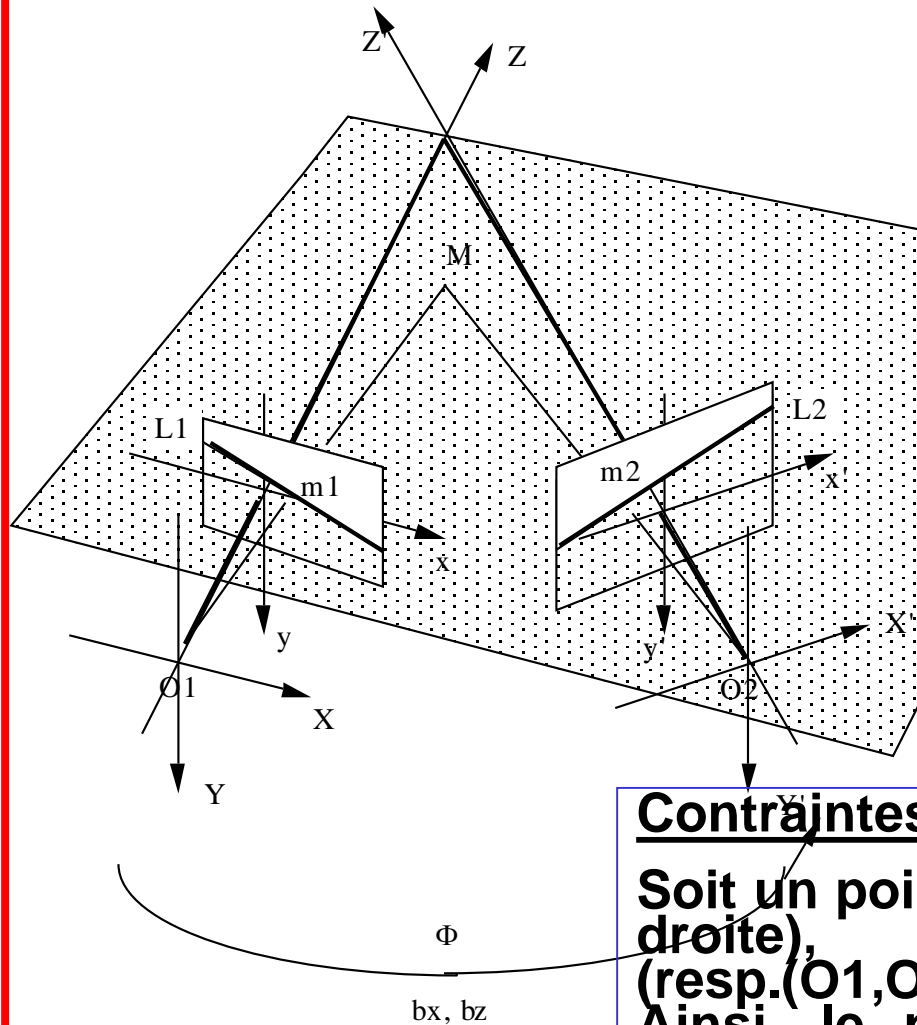
# Banc Stéréoscopique Binoculaire

- **Repères :**
  - ✓ Identiques
  - ✓ Axes Optiques Convergents
- **Rotation :**
  - ✓ Angle  $\phi$
- **Translation:**
  - ✓  $b_x, b_z$
- **Formules :**
  - ✓  $X' = M(X)$



$$\begin{pmatrix} X' \\ Y' \\ Z' \\ 1 \end{pmatrix} = \begin{bmatrix} \cos \phi & 0 & \sin \phi & b_x \\ 0 & 1 & 0 & 0 \\ -\sin \phi & 0 & \cos \phi & b_z \\ 0 & 0 & 0 & 1 \end{bmatrix} \begin{pmatrix} X \\ Y \\ Z \\ 1 \end{pmatrix}$$

# Géométrie et Contraintes Epipolaires : Quelques Définitions



## Définition 1: Plan épipolaire

*On appelle plan épipolaire relatif à un point  $M$  de l'espace 3D, le plan contenant ce point  $M$  ainsi que les deux centres optiques  $O_1$  et  $O_2$  des caméras.*

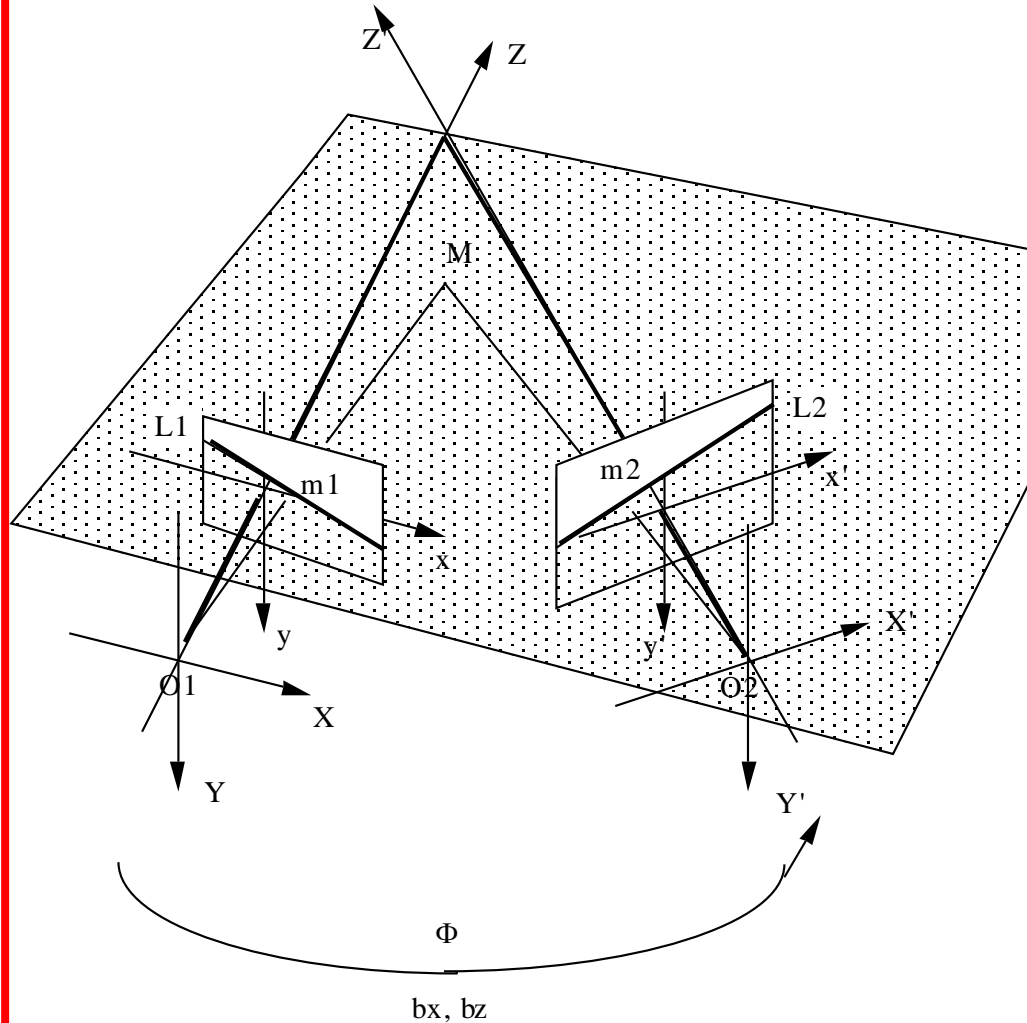
## Définition 2: Lignes épipolaires

*On appelle lignes épipolaires correspondantes au point  $M$  les lignes  $L_1$  et  $L_2$  intersections respectives du plan épipolaire  $P$  et des plans focaux  $\pi_1$  et  $\pi_2$  des deux caméras (ou images gauche et droite).*

## Contraintes Epipolaires:

Soit un point  $m_1$  de l'image gauche (resp.  $m_2$  droite), les 3 points  $(O_1, O_2, m_1)$  (resp.  $(O_1, O_2, m_2)$ ) forment un plan épipolaire. Ainsi, le point correspondant à  $m_1$  dans l'image droite (resp.  $m_2$  gauche) sera situé sur la ligne épipolaire  $L_2$  (resp.  $L_1$ ).

# Les Epipolaires en Equation:



Pour tout point  $m_1$  de coordonnées  $(x_1, y_1)$  de l'image gauche, son correspondant  $m_2$  de coordonnées  $(x_2, y_2)$  dans l'image droite est situé sur l'épipoire  $L_2$  d'équation

$$y_1 b_z x_2 + [b_x (\cos \phi - x_1 \sin \phi) - b_z (x_1 \cos \phi + \sin \phi)] y_2 - y_1 b_z = 0$$

Partant d'un point  $m_2$  de l'image droite, l'épipoire  $L_1$  correspondante s'obtient à partir de l'équation précédente la réorganisant, soit:

$$-(b_x \sin \phi + b_z \cos \phi) y_2 \cdot x_1 + (b_z x_2 - b_x) \cdot y_1 + (b_x \cos \phi - b_z \sin \phi) y_2 = 0$$



## Démonstration Equations des Epipolaires (1) :

Cette transformation s'exprime par la matrice: 
$$\begin{pmatrix} X' \\ Y' \\ Z' \\ 1 \end{pmatrix} = \begin{bmatrix} \cos \phi & 0 & \sin \phi & b_x \\ 0 & 1 & 0 & 0 \\ -\sin \phi & 0 & \cos \phi & b_z \\ 0 & 0 & 0 & 1 \end{bmatrix} \begin{pmatrix} X \\ Y \\ Z \\ 1 \end{pmatrix} \text{ [eq 1].}$$

Si l'on prend la focale de distance unité  $f = 1$ , soient  $m_1$  et  $m_2$  les projections dans les images gauche et droite d'un même point  $M$ :  $m_1 \left( \begin{matrix} x=X/Z \\ y=Y/Z \end{matrix} \right)$  [eq 2] et  $m_2 \left( \begin{matrix} x'=X'/Z' \\ y'=Y'/Z' \end{matrix} \right)$  [eq 3].

Ainsi, en combinant les équations 1,2 et 3:

$$x' = \frac{\cos \phi X + \sin \phi Z + b_x}{-\sin \phi X + \cos \phi Z + b_z} = \frac{(\cos \phi x + \sin \phi) Z + b_x}{(-\sin \phi x + \cos \phi) Z + b_z} \quad \text{[eq4]}$$

$$y' = \frac{Y}{-\sin \phi X + \cos \phi Z + b_z} = \frac{y Z}{(-\sin \phi x + \cos \phi) Z + b_z} \quad \text{[eq 4']}$$



## Démonstration Equations des Epipolaires (2) :

- **Elimination de Z :**

✓ Expression fonction  $x, y, x', y', b_x, b_z, \phi$

$$\frac{x'}{y'} = \frac{(\cos\phi x + \sin\phi) Z + b_x}{y Z} \quad \text{soit} \quad Z = \frac{b_x y'}{x'y - (\cos\phi x + \sin\phi) y'} \quad \text{et en reportant dans 4':}$$

$$y' = \frac{y \left[ \frac{b_x y'}{x'y - (\cos\phi x + \sin\phi) y'} \right]}{(-\sin\phi x + \cos\phi) \frac{b_x y'}{x'y - (\cos\phi x + \sin\phi) y'} + b_z}$$

soit l'expression  $[(-\sin\phi x + \cos\phi) b_x y' + b_z x'y - (\cos\phi x + \sin\phi) y'] = y b_x$ .

## Contraintes Epipolaires : Utilisation :

- **En Pratique :**
  - ✓ **Permet de Limiter la Zone de Recherche de Points Correspondants**

En pratique, soit un point  $m_1$  de coordonnées  $\begin{pmatrix} x \\ y \end{pmatrix}$ , le point  $m_2$  de coordonnées  $\begin{pmatrix} x' \\ y' \end{pmatrix}$  correspondant appartient à la droite d'équation:

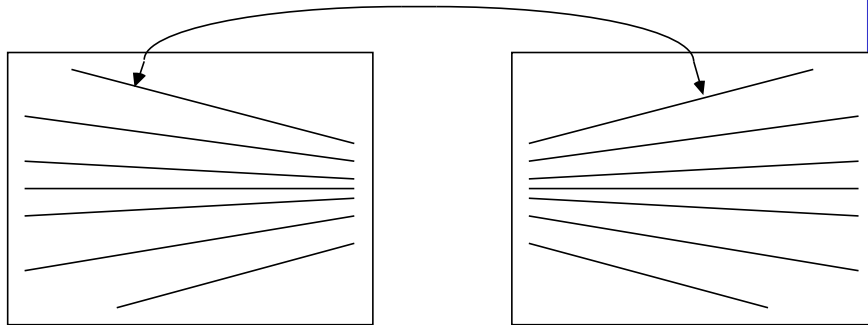
$$y \, b_z \, x' + [b_x \cdot (\cos \phi - x \cdot \sin \phi) - b_z \cdot (x \cdot \cos \phi + \sin \phi)] \, y' - y \, b_z = 0$$

Réciproquement, partant d'un point  $m_2$  de l'image droite, le point  $m_1$  correspondant appartient à la droite dont l'équation s'obtient en réorganisant l'équation précédente, soit:

$$- (b_x \sin \phi + b_z \cos \phi) \, y' \cdot x + (b_z \, x' - b_x) \cdot y + (b_x \cos \phi - b_z \sin \phi) \, y' = 0$$

# Les Epipolaires en Equation:

Epipolaires Correspondantes



Cas particulier :  $\phi = 0$ , (les axes optiques des deux caméras sont parallèles), et si  $b = 0$ , (les deux plans focaux des caméras sont coplanaires),

$$y_2 = y_1.$$

Dans ce cas, appelé "dispositif à géométrie rectifiée" les contraintes géométriques s'énoncent selon les deux contraintes suivantes:

- les lignes épipolaires sont les lignes des deux images,
- la  $n^{\text{ième}}$  ligne de l'image gauche a pour épipolaire correspondante la  $n^{\text{ième}}$  ligne de l'image droite et réciproquement.

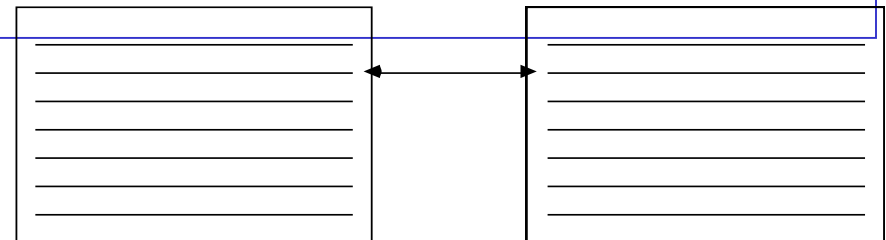
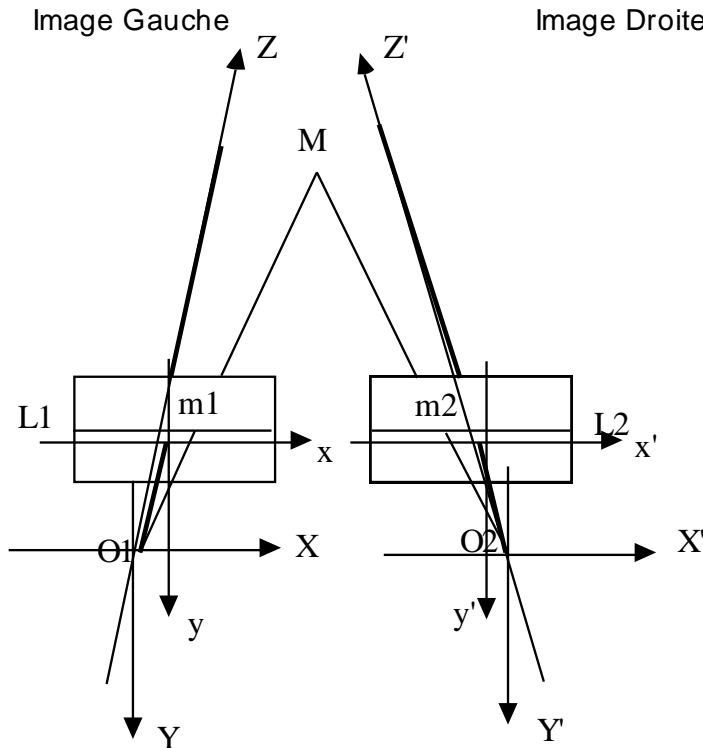
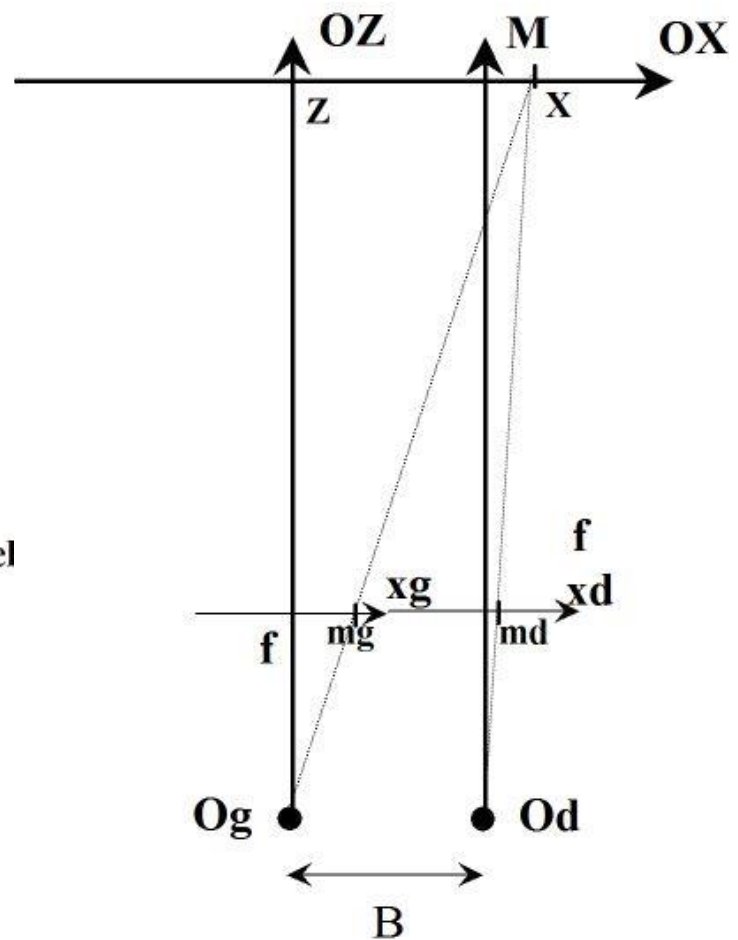
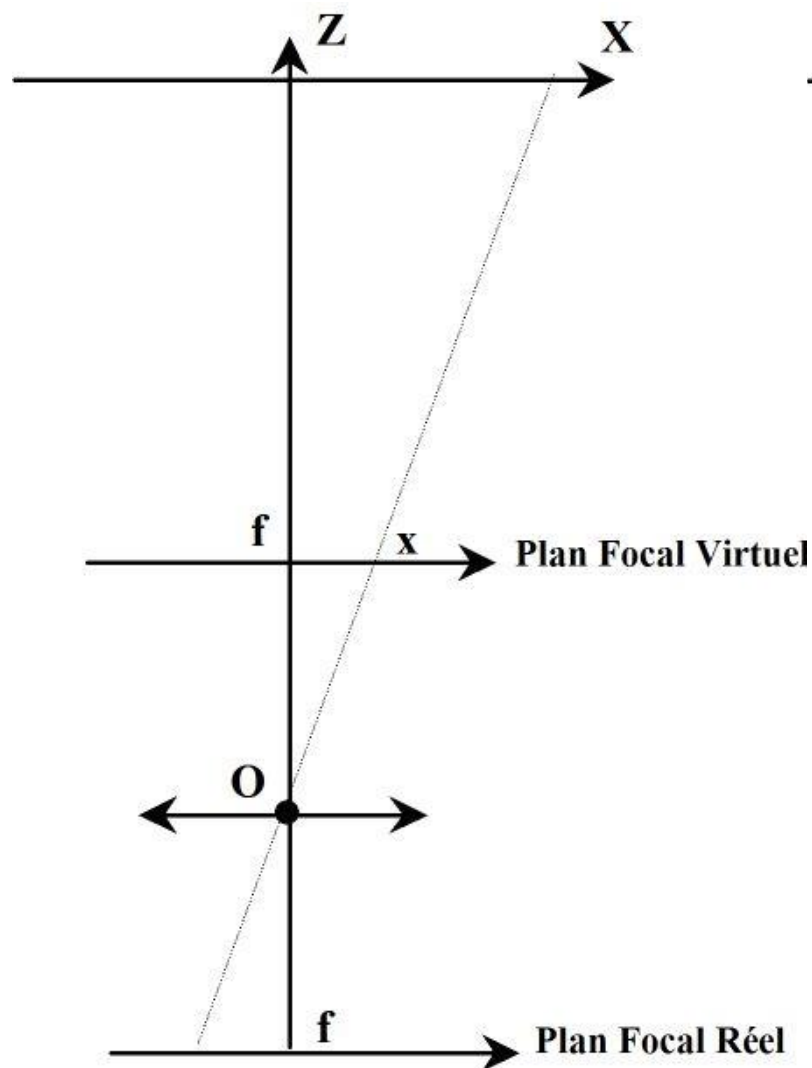


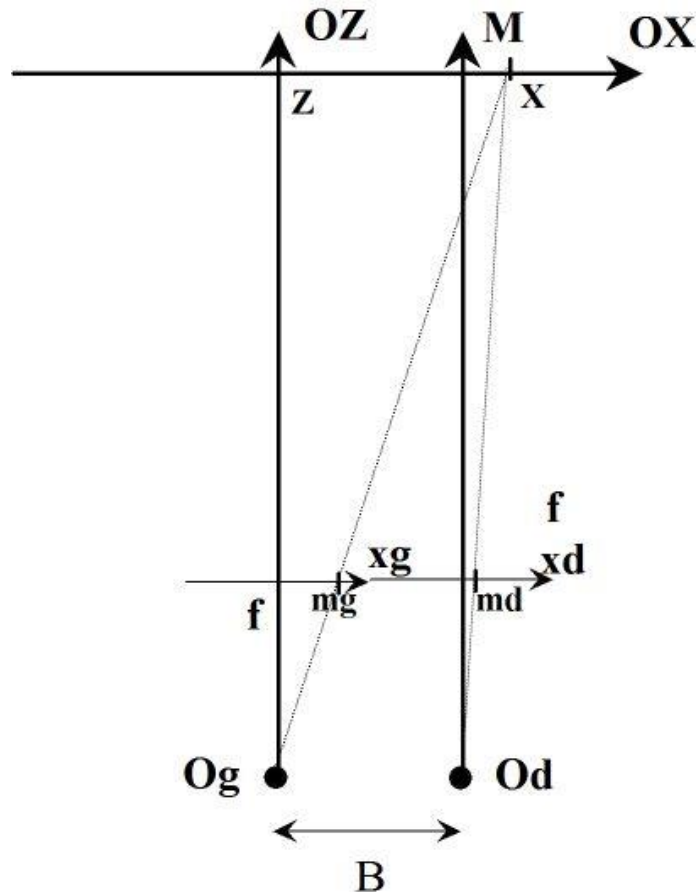
Image Gauche

Image Droite

## Banc Stéréoscopique à Géométrie Rectifiée:



# Banc Stéréoscopique à Géométrie Rectifiée : Formules



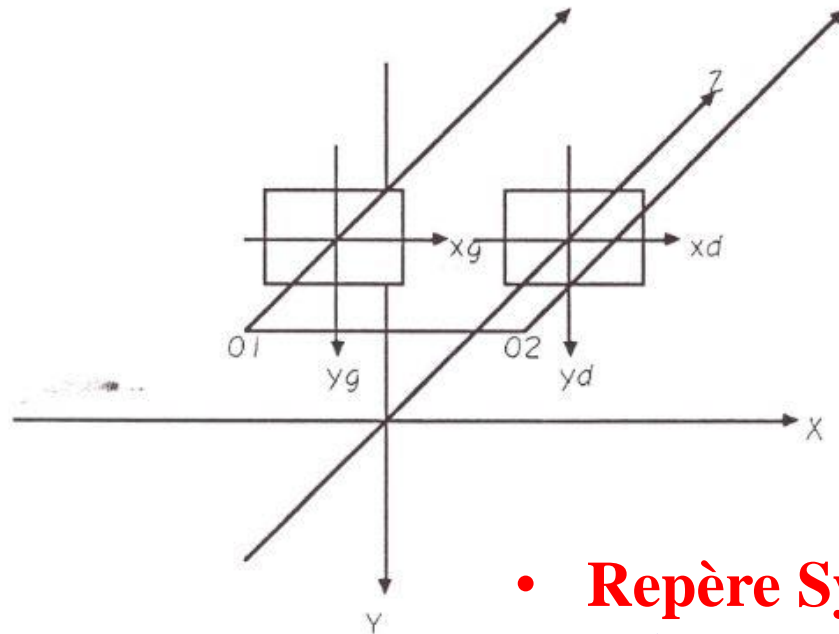
- **Repère Asymétrique:**  
✓ De la Caméra Gauche

$$\frac{X}{xg} = \frac{X - B}{xd} = \frac{Y}{y} = \frac{Z}{f}$$

$$xg = \frac{X \cdot f}{Z} : xd = \frac{(X - B) \cdot f}{Z} \Rightarrow d = (xg - xd) = \frac{B \cdot f}{Z}$$

$$Z = \frac{B \cdot f}{d} : X = \frac{B \cdot xg}{d} = B \cdot \left(1 + \frac{xd}{d}\right) : Y = \frac{B \cdot y}{d}$$

# Banc Stéréoscopique :



- **Repère Symétrique:**  
✓ **Au milieu des caméras**

Les diverses notations sont:

$O1 (-\Delta/2, -h, 0)$ ;  $O2 (\Delta/2, -h, 0)$

$h$ : hauteur des caméras,

$f$ : focale des caméras,

$\Delta$ : distance entre les caméras  $O1O2$

$\delta x, \delta y$  : taille en  $x$  et  $y$  du pixel sur le plan focal

$n_{lig}$  et  $n_{col}$  nombre de lignes et colonnes

$ngx$  et  $ndx$  coordonnées pixel en  $X$  sur les images gauche et droite

$ngy$  coordonnées pixel en  $Y$  sur l'image gauche

$dx = ngx - ndx$  disparité en pixels

$(xg, yg)$ ,  $(xd, yd)$  coordonnées dans les plans images des points  $Mg$  et  $Md$  projection du point 3D  $M(X, Y, Z)$

## Equations du Banc Stéréoscopique :

Les centres optiques des deux caméras ont pour position:  $O_1 = \begin{pmatrix} -\Delta/2 \\ -h \\ 0 \end{pmatrix}$   $O_2 = \begin{pmatrix} \Delta/2 \\ -h \\ 0 \end{pmatrix}$

Le théorème de Thalès donne:

$$\frac{x_g}{f} = \frac{X + \Delta/2}{Z} \quad [\text{eq 1}] \quad \frac{x_d}{f} = \frac{X - \Delta/2}{Z} \quad [\text{eq 1'}] \quad \frac{y_g}{f} = \frac{y_d}{f} = \frac{Y + h}{Z} \quad [\text{eq 1''}]$$

$$\text{Soit } y_g = y_d = \frac{f(Y + h)}{Z} \quad [\text{eq 2}] \quad x_g = \frac{f(X + \Delta/2)}{Z} \quad [\text{eq 2'}] \quad \text{et} \quad x_d = \frac{f(X - \Delta/2)}{Z} \quad [\text{eq 2'}]$$

$$\text{En posant par définition la disparité } d: d = x_g - x_d \quad \text{et en utilisant 1 et 1': } d = \frac{\Delta f}{Z} \quad [\text{eq 3}]$$

En reportant 3 dans 1, 1' et 1'' on tire X, Y et Z en fonction des coordonnées sur les plans images. Sachant que les centres des images ont comme coordonnées en pixels  $\begin{pmatrix} \frac{\text{ncol}}{2} - 1 \\ \frac{\text{nlig}}{2} - 1 \end{pmatrix}$

on en déduit les relations entre coordonnées et nombre de pixels:

$$x_i = [n_{xi} - (\text{ncol}/2 - 1)] \delta x \quad \text{et} \quad y_i = [n_{yi} - (\text{nlig}/2 - 1)] \delta y \quad \text{pour } i = g \text{ ou } i = d$$



## Reconstruction 3D ; par Triangulation:



### Formules de passage 2D -> 3D (TRIANGULATION)

*\* En fonction des coordonnées sur les plans images:*

$$X = \Delta x_g / (x_g - x_d) - \Delta/2$$

$$Y = \Delta y_g / (x_g - x_d) - h$$

$$Z = \Delta f / (x_g - x_d)$$

*\* En fonction des coordonnées pixel image*

$$X = (n_{gx} - (n_{col}/2 - 1)) \delta_x \Delta / (d_x \delta_x) - \Delta/2$$

$$Y = (n_{gy} - (n_{lig}/2 - 1)) \delta_y \Delta / (d_x \delta_x) - h$$

$$Z = \Delta f / (d_x \delta_x)$$

## Projections 3D->2D:



### Formules de passage 3D -> 2D (PROJECTIONS)

*\* En fonction des coordonnées sur les plans images:*

$$xg = (X + \Delta/2) f / Z, \quad xg = (X - \Delta/2) f / Z$$

$$yg = yd = (Y + h) f / Z$$

*\* En fonction des coordonnées pixel image*

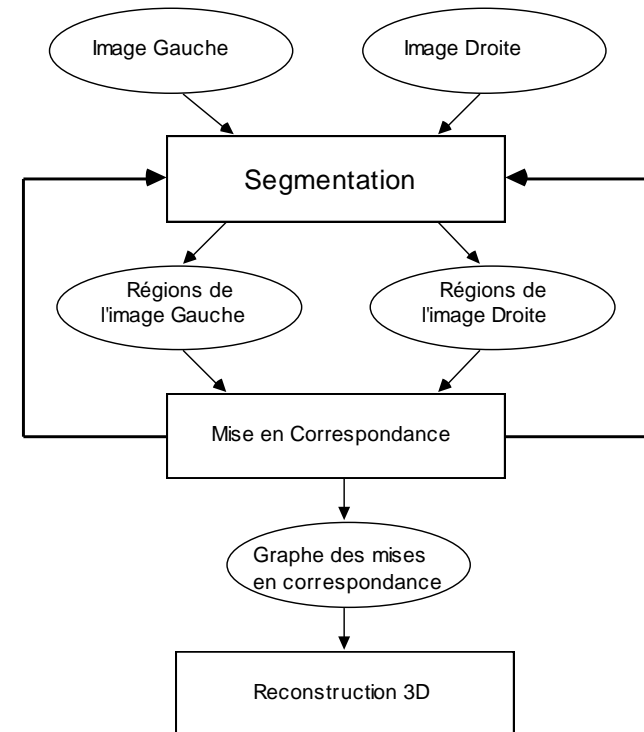
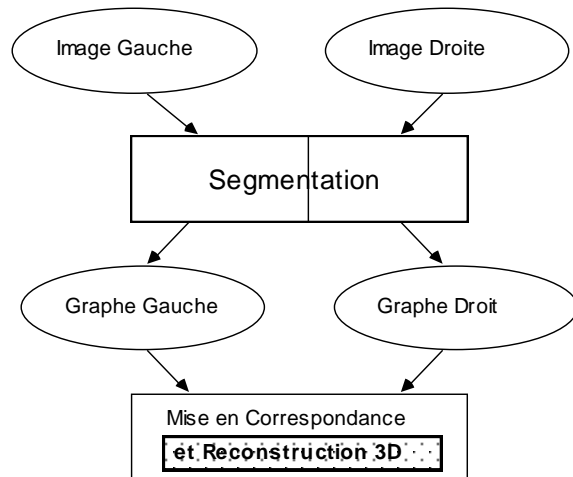
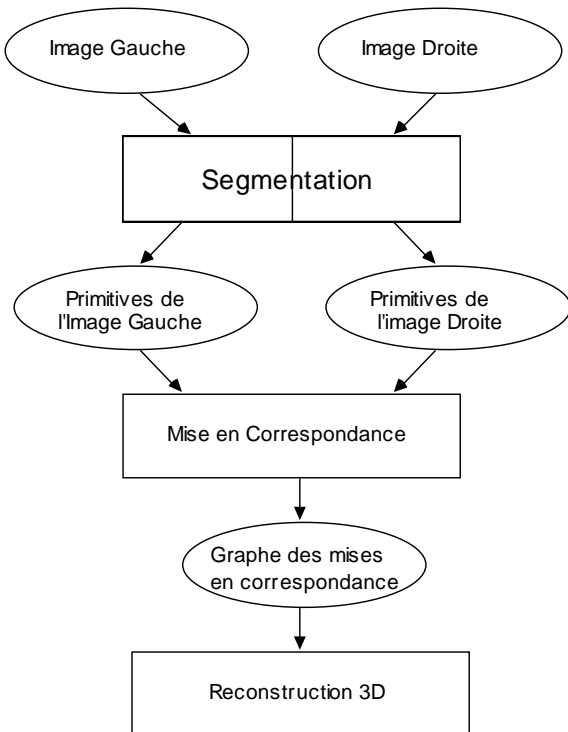
$$ngx = (X + \Delta/2) f / (Z\delta x) + (ncol/2 - 1)$$

$$ndx = (X - \Delta/2) f / (Z\delta x) + (ncol/2 - 1)$$

$$ngy = ndy = (Y + h) f / (Z\delta y) + (nlig/2 - 1)$$

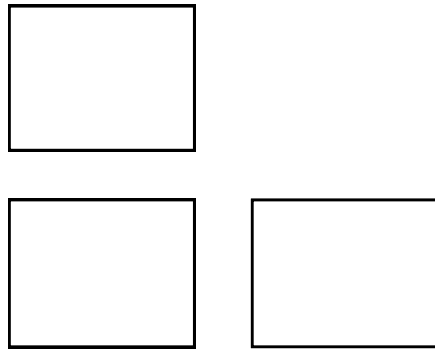
# Les Principales Etapes:

- **4 principales Etapes :**
  - ✓ Segmentation 2D,
  - ✓ Mise en Correspondance
  - ✓ Reconstruction 3D
  - ✓ Mise à Jour Incrémentale du Modèle 3D

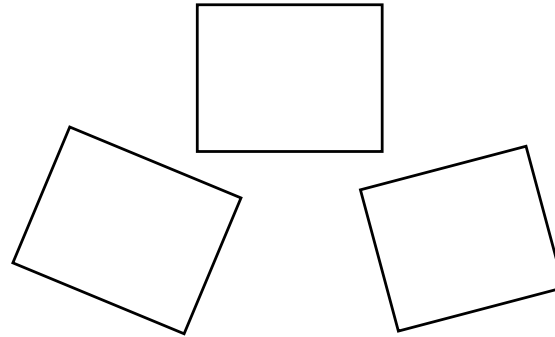


## Les Différents Type de Banc:

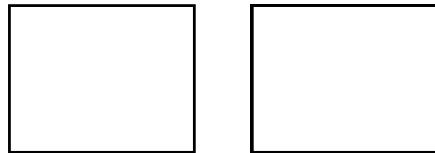
- **3 Types de Banc :**
  - ✓ **Monoculaire**, dont stéréovision axiale,
  - ✓ **Binoculaire**
  - ✓ **Trinoculaire** (diverses associations)



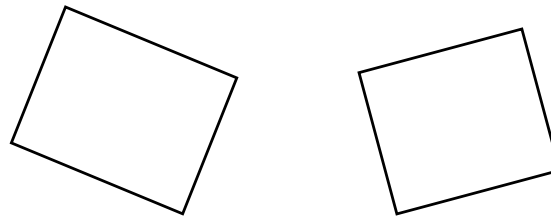
Trinoculaire Rectifié



Trinoculaire Quelconque



Binoculaire Rectifié



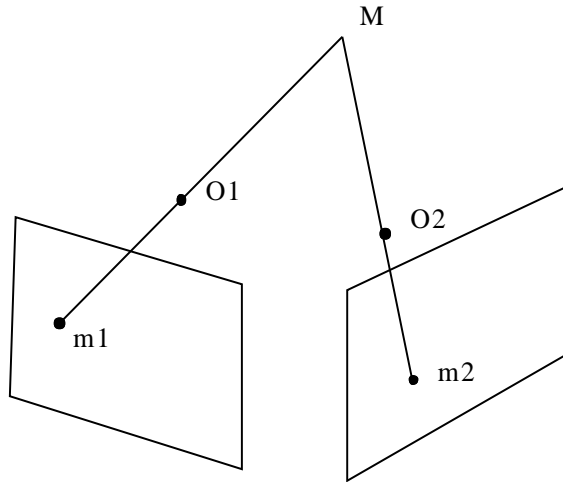
Binoculaire Quelconque

# Nombreuses Approches:

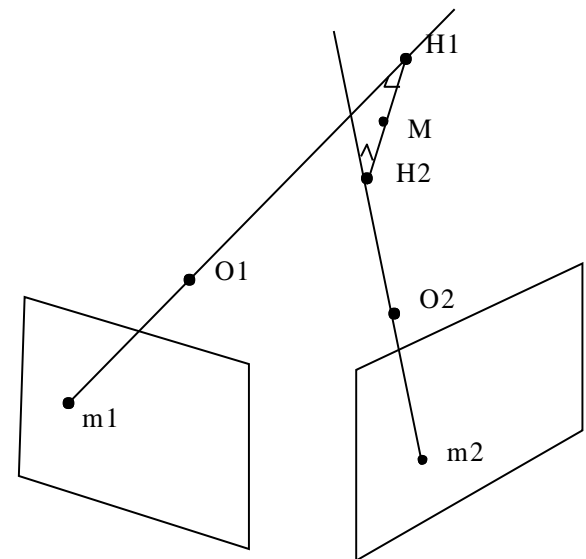
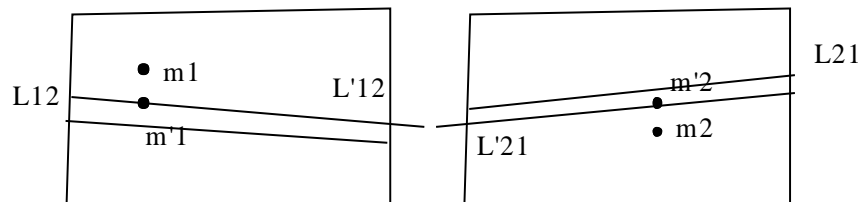
Banc Primitives	Binoculaire	Trinoculaire
Locales	<ul style="list-style-type: none"> <li>* Points d'Intérêt</li> <li>- Corrélation (Moravec 77, Thorpe 83)</li> <li>- Relaxation (Long, Berthod, Giraudon 85)</li> </ul>	
	<ul style="list-style-type: none"> <li>* Points de Contour</li> <li>- Programmation Dynamique (Ohta, Kanade 85)</li> </ul>	<ul style="list-style-type: none"> <li>* Points de Contour</li> <li>- Programmation Dynamique et relaxation (Ohta, et al 86)</li> </ul>
	<ul style="list-style-type: none"> <li>* Segments de Contour</li> <li>- Prédiction / Vérification (85) (Robert, de St. Vincent, Ayache, Faverjon)</li> </ul>	<ul style="list-style-type: none"> <li>* Segments de Contour</li> <li>- Prédiction / Vérification (87) (Lustmann, Ayache)</li> </ul>
	<ul style="list-style-type: none"> <li>* Jonctions de Segments</li> <li>- Prédiction / Vérification contrainte à la Reconstruction 3D (Herman, Kanade 84)</li> </ul>	
Globales	<ul style="list-style-type: none"> <li>* Régions</li> <li>- Association de Graphes d'Adjacence, et par "Tas" (Gagalowicz 87)</li> <li>- Programmation Dynamique sur les Frontières (Wrobel 87)</li> </ul>	
"Mixtes"	<ul style="list-style-type: none"> <li>* Lignes / Régions</li> <li>- Relaxation (Long, Berthod, Giraudon 86)</li> </ul>	
	<ul style="list-style-type: none"> <li>* Graphes de Segments</li> <li>- Isomorphismes de Sous Graphes (Skordas, Horaud 88)</li> </ul>	

# Construction d'un Point 3D à partir de Points 2D

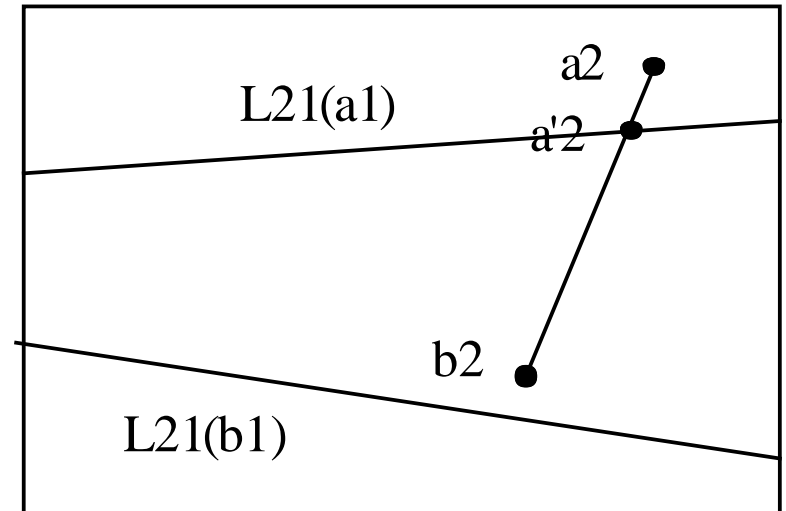
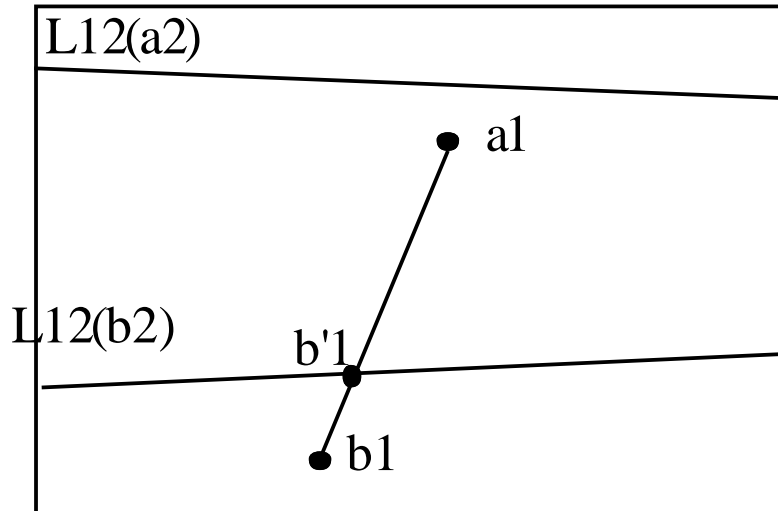
Si les points  $m1$  et  $m2$  associés sont situés sur les épipolaires correspondantes, le point 3D  $M$  sera obtenu par triangulation à l'intersection des droites  $Om1$  et  $Om2$



Sinon : Soit recalage sur une épipolaire « moyenne », soit le milieu de la perpendiculaire commune  $H1H2$ !



## Construction d'un Segment 3D à partir de Segments 2D

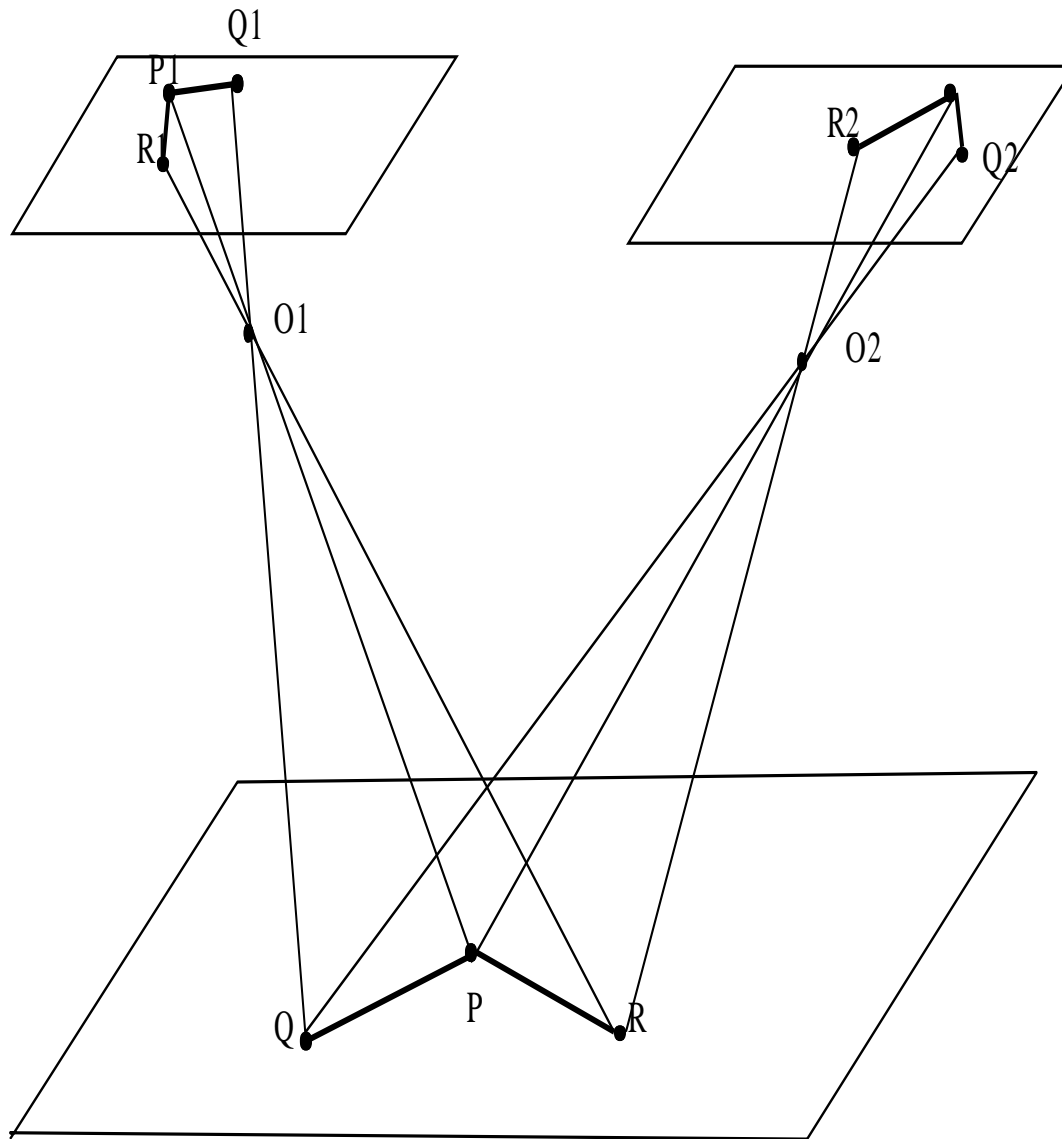


il faut tracer dans l'image de droite (resp. de gauche) les deux épipolaires  $L21(a_1)$  et  $L21(b_1)$  correspondant aux extrémités  $a_1$  et  $b_1$  du segment de l'image gauche (resp. droite). La zone de correspondance est dans l'image de gauche (resp. de droite) l'intersection entre le segment  $a_1b_1$  et la bande de lignes épipolaires comprise entre  $L12(a_2)$  et  $L12(b_2)$ . Le segment 3D sera reconstruit par triangulation à partir des extrémités des zones de correspondance de chaque image



# **« The 3D Mosaic System » : M.Herman , T.Kanade (CMU)**

## **Reconstruction de Sommets 3D à partir de Jonctions**



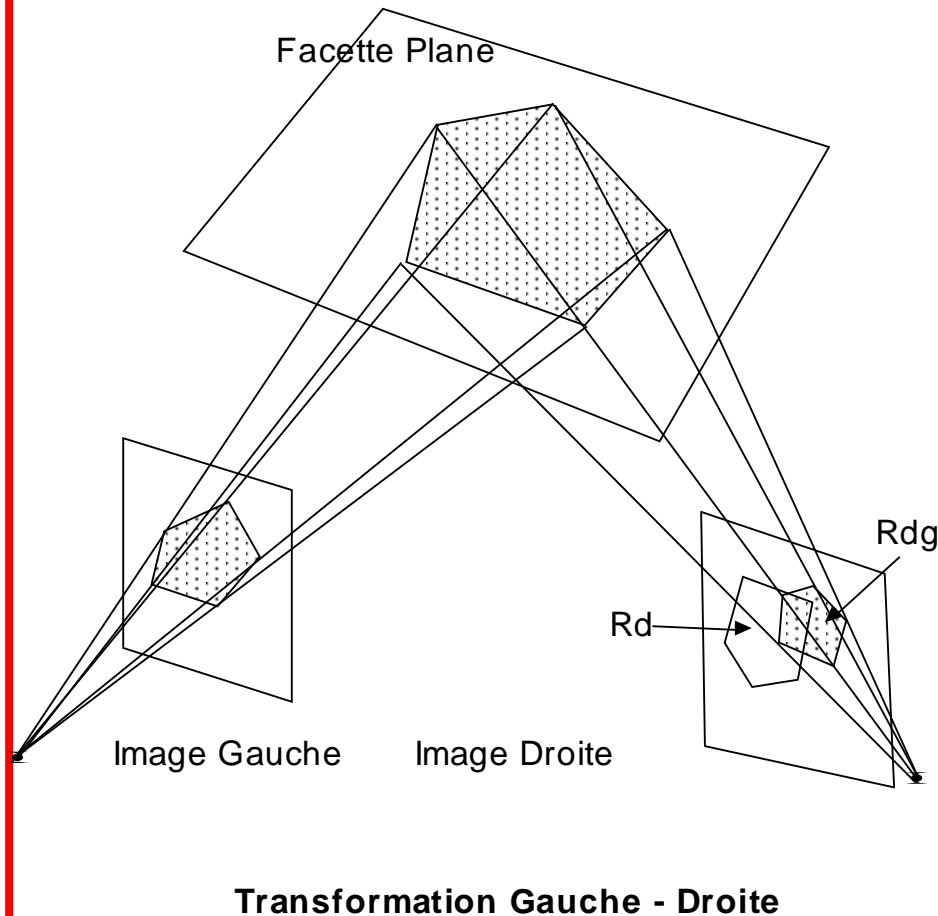
**Spécifique à la  
Reconstruction 3D de  
Bâtiments polyhédriques**

**Les jonctions associées sont  
supposées être dans les  
images la projection de la  
partie d'un sommet de  
polyèdre contenue dans un  
plan horizontal.**

**La vérification consiste à  
prédire (QPR) à partir de  
J1 et du point central P2 de  
J2 la forme de le jonction  
J2 dans l'image droite: J'2,  
relativement à la contrainte  
précédemment évoquée,  
puis de comparer la  
jonction réelle J2 à la  
jonction prédite J'2.**

# Reconstruction de Plans 3D à partir de Régions 2D

(A.Gagalowicz)



Rg et Rd appariées, supposées être la projection d'une facette plane d'équation :

$$z = a.x + b.y + c.$$

Il est possible de prédire (\*) l'allure de la région dans l'image droite (resp. gauche) R<sub>dg</sub>. La région prédite R<sub>dg</sub> est alors comparée à la région réelle R<sub>d</sub> dans l'image droite (resp. gauche).

$$\| \text{Car } R_d - \text{Car } R_{dg} \| +$$

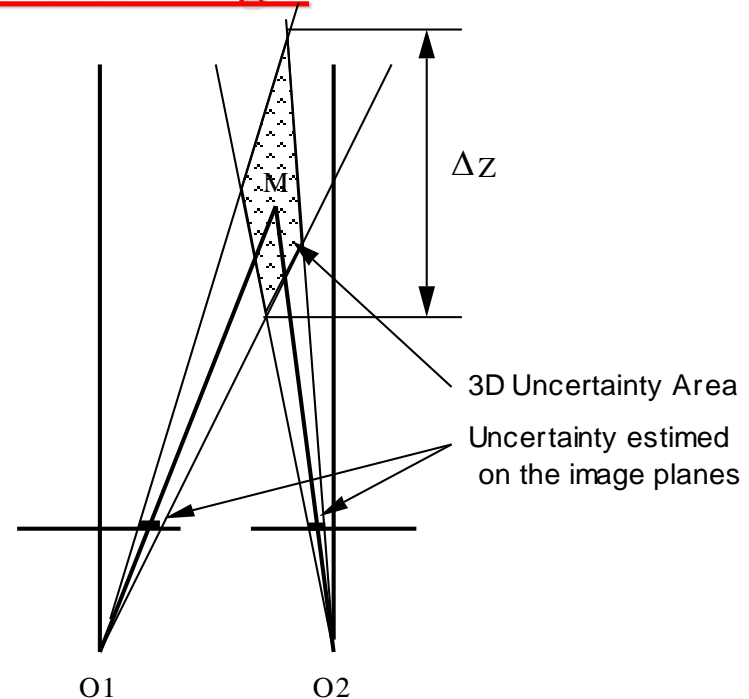
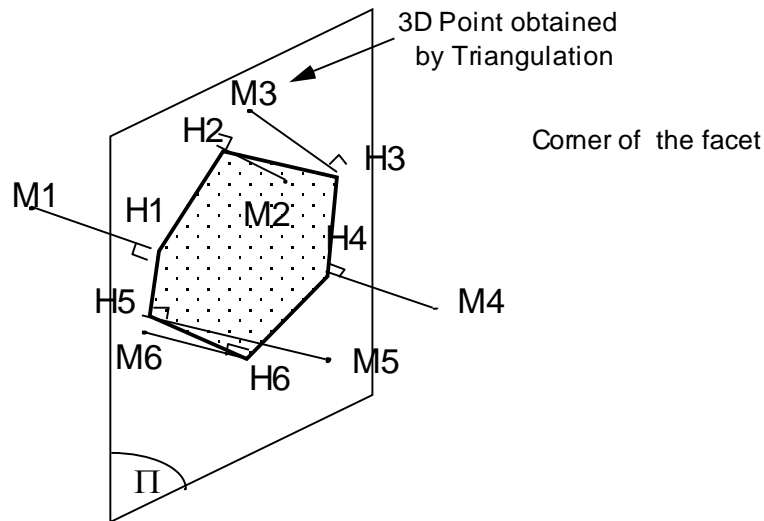
$$\| \text{Car } R_g - \text{Car } R_{gd} \|$$

où Car R est le vecteur d'attributs de la région R

Les paramètres optimaux du plan sont obtenus à l'aide d'une technique de relaxation qui minimise l'erreur quadratique

# Les Contraintes de Planarité

- Raison d'être : Meilleure Précision de la Reconstruction 3D:
    - ✓ Pourquoi ? Toutes les incertitudes peuvent être traduites en pixels
      - L'incertitude peut être considérée constante sur toute l'image,
      - L'incertitude n'est pas constante dans l'Espace 3D
  - Méthodes qui font l'Approximation de Plans 3D :
    - ✓ Correctes si les points 3D sont obtenus par télémétrie
    - ✓ Incorrectes avec les Méthodes de Stéréovision bi- ou tri- oculaire
- => Espace Correct : les Images**



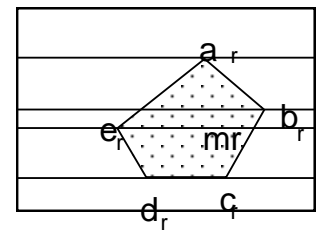
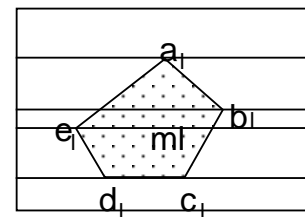
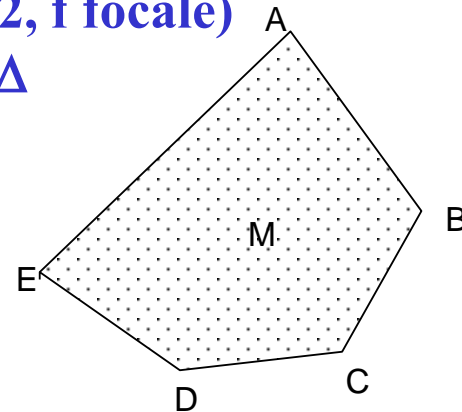
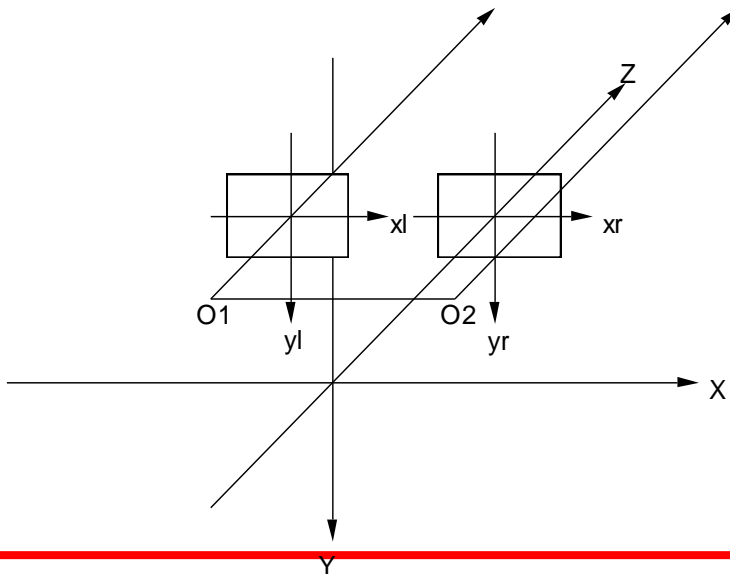
# Les Contraintes de Planarité

- Definition:

- ✓ Les contraintes de planarity garantissent l'existence d'une transformation affine entre les coordonnées des points correspondants dans les images gauche ( $X_l, Y_l$ ) et droite ( $X_r, Y_r$ ), qui sont générés par les points 3D ( $X, Y, Z$ ), appartenant tous au même plan.

- Cas du banc à Géométrie Rectifiée:

- ✓  $X_r = \alpha X_l + \beta Y_l + \gamma$   $Y_r = Y_l$
- ✓ Les coefficients  $\alpha, \beta, \gamma$  dépendent uniquement des paramètres  $a, b, c$ , et  $d$  du plan d'équation:  $aX + bY + cZ + d = 0$
- ✓  $a = (\alpha - 1) / \Delta$  ;  $b = \beta / \Delta$  ; ( $\Delta = O_1O_2, f$  focale)
- ✓  $c = \gamma / (f \Delta)$  ;  $d = 1 + (\alpha - 1) / 2 + h\beta / \Delta$



# Les Contraintes de Planarité

- Méthode:

- ✓ Générer une hypothèse d'Association entre les points 2D des images gauche et droite,
- ✓ Calculer les paramètres  $\alpha, \beta, \gamma$  par minimisation (moindres carrés) de l'erreur quadratique:

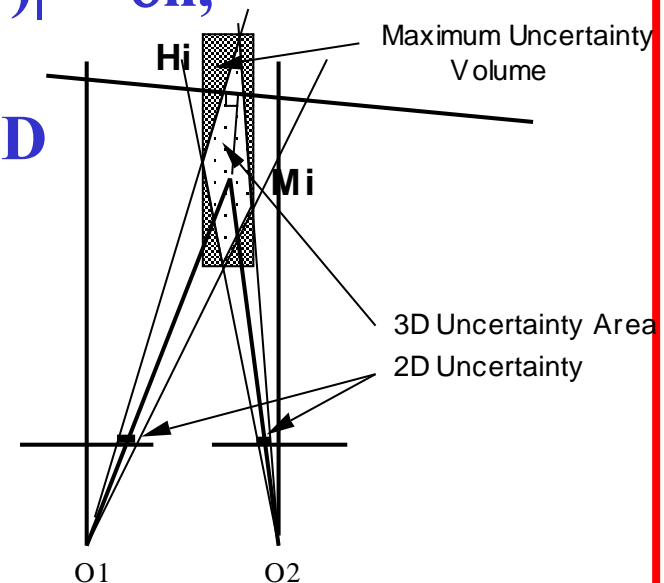
$$\varepsilon^2 = \sum [X_{ir} - (\alpha X_{il} + \beta Y_{il} + \gamma)]^2 / N$$

- ✓ Vérifier la cohérence dans les images : pour chaque paire de points 2D en correspondance :

$$|X_{ir} - (\alpha X_{il} + \beta Y_{il} + \gamma)| < \delta n,$$

où  $\delta n$  est l'incertitude maximale

- ✓ Vérifier la cohérence dans l'espace 3D  
H, la projection sur le plan 3D du point M doit être dans le volume d'incertitude
- ✓ Génération d'hypothèses relative  
Au type de plans (horizontal, vertical)



## Les Contraintes de Planarité

- Requêtes au niveau de la Segmentation :
    - ✓ Segmentation Contour pour la Précision,
    - ✓ Segmentation Régions pour une Mise en Correspondance Globale.

⇒ Deux Segmentations : Contours et Régions  
Avec des résultats compatibles

  - ✓ Solutions : Contours / Région Coopérative Segmentation, Ou les Facettes 2D
- Associations :
  - ✓ Deux Etapes : Régions, puis Segments de Contours appartenant aux Régions